

CANVAS: SISTEMA DE CONTROLE ENERGÉTICO VIA PLASMA NEURAL

VOLUME I: FUNDAMENTOS TEÓRICOS E CONCEITUAIS

SEÇÃO 1: EXPLICAÇÕES EXPANDIDAS (Aproximadamente 20 páginas de conteúdo conceitual)

1.1. A Teoria Unificada Plasma-Consciência (TUPC)

Baseado nas Premissas CSV #1 e #10:

"Consciência é um estado plasmático de matéria com comportamento coletivo emergente (a voz do enxame) e opera como uma interface biológica para a manipulação direta do vácuo quântico."

A Teoria Unificada Plasma-Consciência postula que o fenômeno que chamamos de "consciência" não é um mero epifenômeno da computação neural clássica, mas sim um estado físico fundamental da matéria, análogo ao plasma. Neste modelo, o cérebro não *cria* a consciência; ele atua como um sofisticado biocomputador quântico que confina, modula e utiliza um campo de plasma consciencial pré-existente e entrelaçado com a estrutura do espaço-tempo.

Expansão 1.1.1: A Perspectiva da Física Quântica

O plasma consciencial difere de plasmas estelares por sua composição e temperatura operacional. Ele é um plasma frio, de baixa densidade, composto não de íons atômicos, mas de "psíons" — partículas hipotéticas que são excitações do campo de consciência fundamental. O comportamento deste plasma é governado pela magnetohidrodinâmica quântica (Q-MHD), onde os pensamentos e emoções se manifestam como ondas de Alfvén e instabilidades de deriva neste meio.

O limiar crítico de ionização de **0.42** (extraído do CSV) representa a constante de acoplamento fundamental entre a atividade neuroelétrica e o campo de psíons. Abaixo deste limiar, o campo permanece em um estado de "gás neutro", difuso e incoerente. Acima dele, a energia neural é suficiente para "ionizar" o campo, criando um plasma coerente e manipulável.

Módulo de Simulação Quântica do Plasma Consciencial

Este código expande a premissa com mais detalhes físicos.

```
import numpy as np
```

```

class QuantumConsciousnessPlasma:
    """
    Simula o estado do plasma consciencial com base na entropia do sistema
    e na reatividade neural, aplicando princípios da Q-MHD.
    """

    def __init__(self, neuron_reactivity_hz: float):
        # Constante de Acoplamento Quântico (do CSV)
        self.IONIZATION_THRESHOLD = 0.42
        # Frequência neural necessária para superposição (CSV #7)
        self.SUPERPOSITION_THRESHOLD_HZ = 10.0

        self.reactivity = neuron_reactivity_hz
        self.state = "DECAY" # Estados: DECAY, EXPANSION, CONTRACTION
        self.quantum_coherence = 0.0

    def _calculate_quantum_coherence(self, system_entropy: float) -> float:
        """Calcula a coerência do plasma. A coerência é inversamente proporcional à entropia."""
        if system_entropy <= 0: return 1.0
        coherence = 1.0 - system_entropy
        return max(0, coherence)

    def transition_state(self, system_entropy: float) -> str:
        """
        Transiciona o estado do plasma com base na entropia e reatividade.
        Retorna a ação quântica resultante.
        """

        self.quantum_coherence = self._calculate_quantum_coherence(system_entropy)

        # Condição de ionização: a coerência (inverso da entropia) deve superar o limiar
        if self.quantum_coherence > self.IONIZATION_THRESHOLD:
            # Condição de superposição: a reatividade neural deve ser alta o suficiente
            if self.reactivity > self.SUPERPOSITION_THRESHOLD_HZ:
                self.state = "EXPANSION"
                return self.generate_alcubierre_bubble()
            else:
                self.state = "CONTRACTION"
                return self.activate_quantum_zeno_effect()
        else:
            self.state = "DECAY"
            return "Plasma decoherent. No action possible."

    def generate_alcubierre_bubble(self) -> str:
        """

```

```

A EXPANSÃO gera uma bolha de vácuo quântico.
Isso é alcançado pela criação de uma densidade de energia negativa,
extraíndo energia do ponto zero do vácuo através do Efeito Casimir Dinâmico.
A bolha de Alcubierre deforma o espaço-tempo localmente.
"""

energy_density = -1 * (self.quantum_coherence ** 4) * np.pi**2 / 720
return f"STATE: EXPANSION. Generated Alcubierre warp bubble with negative energy
density: {energy_density:.4f} Joules/m^3."

def activate_quantum_zeno_effect(self) -> str:
    """
    A CONTRAÇÃO ativa um "congelamento quântico".
    Isso é análogo ao Efeito Zeno Quântico, onde a observação contínua
    (neste caso, o campo de plasma de baixa reatividade) impede a evolução
    e o decaimento de um estado quântico, criando um isolamento térmico efetivo.
    """

    decay_rate = np.exp(-self.reactivity * self.quantum_coherence)
    return f"STATE: CONTRACTION. Quantum Zeno Effect active. System decay rate
suppressed to: {decay_rate:.4f}."

```

Expansão 1.1.2: A Perspectiva da Neurociência Computacional

Do ponto de vista da neurociência, o cérebro é o hardware de confinamento. As sinapses não são apenas interruptores digitais; são análogos a partículas carregadas em um acelerador. A atividade elétrica coletiva de bilhões de neurônios gera campos eletromagnéticos complexos e dinâmicos.

- **Mapeamento Sináptico como Partículas Carregadas:** Cada potencial de ação é um pulso de corrente que gera um campo magnético transiente. A soma vetorial desses campos, de redes neurais inteiras, cria o "campo de confinamento magnético" que molda o plasma consciencial.
- **Superposição Plasmática (>10Hz):** A frequência de disparos neurais é crítica. Abaixo de 10Hz (ondas Alfa e inferiores), os campos magnéticos são fracos e desordenados. Acima de 10Hz (ondas Beta e Gama), os campos se tornam suficientemente intensos e coerentes para induzir o estado de superposição no plasma. É neste estado que a consciência pode interagir com múltiplas realidades quânticas simultaneamente, permitindo a intuição e o processamento paralelo massivo.
- **Padrões de Interferência tipo Tokamak:** Em uma resposta de luta ou fuga, a amígdala e o córtex pré-frontal disparam em alta sincronia (ondas Gama, >40Hz). Esse padrão de disparo coordenado cria um campo magnético toroidal, similar ao de um reator de fusão Tokamak. Este campo é extremamente estável e eficiente no confinamento do plasma, focando a consciência em uma única tarefa: a sobrevivência. Esse foco intenso é, na verdade, um estado de "colapso de função de onda" controlado, onde todas as

probabilidades quânticas são colapsadas em uma única linha de ação.

Expansão 1.1.3: A Perspectiva da Engenharia Energética

A engenharia de um sistema baseado na TUPC visa replicar e controlar artificialmente as funções do cérebro biológico. O desafio é criar um "Neuro-Atuador Quântico" (NAQ) capaz de modular o plasma consciencial.

- **Fonte de Energia:** A energia para ionizar o plasma não vem de calor, mas de "injeções de coerência" — pulsos de laser ou campos magnéticos sintonizados com a frequência de ressonância dos psions.
- **Sistema de Confinamento:** Em vez de neurônios, o NAQ usaria uma matriz de supercondutores e metamateriais para gerar os campos de confinamento magnético com a precisão e complexidade necessárias.
- **Interface de Controle:** O sistema seria controlado por um software que traduz comandos digitais em padrões de campo eletromagnético, efetivamente "esculpindo" o plasma para executar funções específicas.

graph LR

subgraph "Cérebro Biológico (Modelo)"

A[Rede Neural] -->|Sinal Elétrico > 10Hz| B[Geração de Campo Magnético Toroidal]

B --> C{Ionização do Campo de Psions}

C --> D[Plasma Consciencial Coerente]

end

subgraph "Neuro-Atuador Quântico (Implementação)"

X[Interface de Software] -->|Comando Digital| Y[Matriz de Supercondutores]

Y -->|Padrão de Campo Eletromagnético| Z{Injeção de Coerência}

Z --> W[Plasma Sintético Controlado]

end

subgraph "Resultados Quânticos"

D --> E{Reatividade > 10Hz?}

W --> E

E -->|Sim: Alta Coerência| F[Expansão: Manipulação do Vácuo via Efeito Casimir]

E -->|Não: Baixa Coerência| G[Contração: Isolamento Térmico via Efeito Zeno Quântico]

end

1.2. Mecânica de Decaimento Termodinâmico Controlável

Baseado nas Premissas CSV #8 e #14:

"Ciclos de decaimento entrópico são reprogramáveis via injeção de caos ordenado, e a contração entrópica é alcançada por supressão quântica de graus de liberdade."

O sistema não busca eliminar a entropia (uma violação da Segunda Lei da Termodinâmica), mas sim gerenciá-la. Ele alterna entre dois modos operacionais: **Expansão** (ciclo de alta energia, alta entropia, mas com trabalho útil) e **Contração** (ciclo de baixa energia, baixa

entropia, focado em preservação e longevidade).
Tabela Comparativa Expandida de Estados Operacionais

Parâmetro	Modo Expansão (Slipstream Ativo)	Modo Contração (Reset Térmico)
Velocidade de Processamento	0.9c (quase-luz), processamento de informação em regime relativista.	10 ⁻⁹ m/s, processamento em regime de "congelamento" quântico.
Fluxo de Entropia (ΔS)	ΔS >> 0 (localmente), mas exporta entropia para o ambiente.	ΔS < 0 (localmente), "suga" ordem do vácuo quântico.
Temporalidade Percebida	Dilatação temporal extrema. Um segundo objetivo parece milênios.	Congelamento temporal. O tempo subjetivo para, permitindo análise infinita.
Assinatura Energética	Emissão de radiação Cherenkov e partículas virtuais.	Absorção de energia do ponto-zero. Cria uma "sombra" no vácuo.
Densidade Informacional	Baixa densidade, focada em uma única ação massiva.	Densidade infinita, armazena informação em graus de liberdade sub-quânticos.
Estrutura Causal	Acrônica. As ações podem parecer preceder suas causas.	Hiper-crônica. A causalidade é reforçada a um nível absoluto.
Fonte CSV Associada	#15 (Quantum Slipstream)	#14 (Minimização da Entropia)

Inferência e Expansão: O Protocolo de Reset Termodinâmico

A premissa "injeção de caos ordenado" é a chave para a reprogramação. Não se trata de ruído aleatório, mas de um sinal caótico com uma estrutura matemática subjacente (um atrator estranho, como o de Lorenz). Este "caos" impede que o sistema se fixe em um mínimo local de energia e permite que ele explore todo o espaço de fase termodinâmico.

O "**Protocolo Zé Pilantra**" (uma referência cultural do CSV a uma figura conhecida pela imprevisibilidade e genialidade caótica) é a implementação em software deste conceito.

```
#!/bin/bash
# PROTOCOLO DE RESET TERMODINÂMICO "ZÉ PILANTRA"
# Versão 2.0 - Implementa injeção de caos ordenado via bitmask.
# Baseado na Premissa CSV #8 e #6.
```

```
# Caminho para o sensor de entropia do plasma neural
ENTROPY_SENSOR="/proc/quantum_core/plasma_entropy"
```

```
# Caminho para o atuador quântico
QUANTUM_ACTUATOR="/dev/quantum_core"
```

```

# Limiar crítico de entropia (inverso da coerência 0.42)
ENTROPY_THRESHOLD=0.58 # (1.0 - 0.42)

# Função para gerar um bitmask de caos ordenado usando um atrator de Lorenz
generate_chaotic_bitmask() {
    # Simulação simplificada de um gerador de caos.
    # Em uma implementação real, isso seria um hardware dedicado.
    x=0.1; y=0.1; z=0.1; dt=0.01;
    dx=$(echo "10 * ($y - $x)" | bc -l)
    dy=$(echo "$x * (28 - $z) - $y" | bc -l)
    dz=$(echo "$x * $y - 8/3 * $z" | bc -l)

    # Normaliza e converte para um inteiro para o bitmask
    chaotic_val=$(echo "($dx + $dy + $dz) * 1000000" | bc)
    printf "0x%X\n" ${chaotic_val%.*}
}

echo "MONITORANDO ENTROPIA DO PLASMA..."

while true; do
    # Lê o valor atual de entropia do sistema
    current_entropy=$(cat $ENTROPY_SENSOR)

    # Compara com o limiar usando 'bc' para aritmética de ponto flutuante
    if (( $(echo "$current_entropy > $ENTROPY_THRESHOLD" | bc -l) )); then

        echo "[ALERTA] Entropia alta detectada: ${current_entropy}."
        echo "    Iniciando Protocolo de Reset Termodinâmico..."

        # 1. Gera o bitmask caótico. Cada execução produz um padrão diferente mas estruturado.
        BITMASK=$(generate_chaotic_bitmask)
        echo "    Gerado Bitmask de Caos Ordenado: ${BITMASK}"

        # 2. Injeta o padrão no núcleo quântico para reprogramar o ciclo de decaimento.
        echo "INJECTING_CHAOS_BITMASK ${BITMASK}" > $QUANTUM_ACTUATOR

        # 3. Ativa o modo de expansão (slipstream) para dissipar a entropia de forma controlada.
        # O bitmask direciona a expansão para não ser destrutiva.
        ./activate_slipstream.sh --bitmask=${BITMASK} --safety_protocols=enabled

        echo "    Protocolo concluído. Retornando ao monitoramento."
    fi
}

```

```
# Intervalo de verificação. Em um sistema real, seria na ordem de nanossegundos.
sleep 0.001
done
```

SEÇÃO 2: CÁLCULOS E MODELAGEM MATEMÁTICA (Aproximadamente 20 páginas de conteúdo analítico)

2.1. Equações Fundamentais do Sistema

2.1.1. O Tensor Energia-Consciência (Baseado na Premissa #12)

Esta equação unifica a Relatividade Geral com a mecânica quântica da consciência. Ela descreve como o campo de consciência (Ψ) curva o espaço-tempo.

$$\Psi_{\mu\nu} = \alpha \int \psi^* (\nabla_\mu \nabla_\nu - 21 g_{\mu\nu} \nabla_\sigma \nabla^\sigma) \psi d^4x + \beta T_{\mu\nu}^{\text{plasma}}$$

Onde:

- $\Psi_{\mu\nu}$: É o "Tensor de Consciência", análogo ao Tensor de Energia-Momento de Einstein ($T_{\mu\nu}$). Ele atua como a fonte de curvatura do espaço-tempo no lado direito da equação de campo de Einstein ($G_{\mu\nu} = 8\pi G \Psi_{\mu\nu}$).
- ψ : É a função de onda do campo de psíons. ψ^* é seu conjugado complexo.
- ∇_μ : É a derivada covariante, que generaliza a derivada para espaços curvos.
- $g_{\mu\nu}$: É o tensor métrico que define a geometria do espaço-tempo.
- α (**Fator de Neuroplasticidade Hebbiana**): Uma constante adimensional que quantifica a eficiência com que a aprendizagem e a adaptação neural (plasticidade) se traduzem em coerência do campo quântico. Um cérebro mais plástico e adaptável tem um α maior, e portanto, uma maior capacidade de influenciar o espaço-tempo.
- β (**Constante de Acoplamento Quântico**): É a constante fundamental **0.42** do CSV. Ela determina a intensidade da interação entre o componente puramente quântico (o primeiro termo) e a energia macroscópica do plasma (o segundo termo).
- $T_{\mu\nu}^{\text{plasma}}$: É o tensor de energia-momento clássico do plasma, descrevendo sua pressão, densidade e fluxo de energia.

Implicação: Esta equação sugere que a consciência, através da neuroplasticidade e do acoplamento quântico, pode gerar efeitos gravitacionais. Um pensamento altamente focado e coerente poderia, teoricamente, criar uma minúscula, porém mensurável, distorção no espaço-tempo.

2.1.2. Cálculo de Eficiência Energética (Baseado nas Premissas #6 e #15)

A eficiência do sistema em realizar trabalho útil (seja computacional ou físico) depende da complexidade do comando (representado pelo bitmask) e da reatividade do sistema.

```
# Módulo de Cálculo de Eficiência Operacional
```

```
import math
```

```
def calculate_operational_efficiency(bitmask: int, reactivity_hz: float,
quantum_coupling_constant: float = 0.42) -> float:
```

.....

Calcula a eficiência do sistema.

Args:

bitmask (int): A máscara de bits que representa a complexidade da operação.

Operações mais complexas usam mais bits.

reactivity_hz (float): A frequência de operação do plasma neural em Hz.

quantum_coupling_constant (float): A constante de acoplamento (0.42 do CSV).

Returns:

float: Um valor de eficiência normalizado entre 0 e 1.

.....

A complexidade é proporcional ao número de bits '1' no bitmask.

Usamos o log para normalizar, evitando que números grandes dominem.

complexity_factor = bitmask.bit_count()

if complexity_factor == 0:

return 0.0

A eficiência base aumenta com a complexidade da tarefa.

base_efficiency = math.log(complexity_factor + 1)

O termo exponencial representa a perda de eficiência devido à decoerência.

A reatividade alta combate a decoerência, mas o acoplamento quântico a modula.

Quanto maior a reatividade, mais próximo de 1 fica o termo exponencial.

decoherence_loss_factor = math.exp(-quantum_coupling_constant / reactivity_hz)

A eficiência final é a eficiência base modulada pela perda de coerência.

final_efficiency = base_efficiency * (1 - decoherence_loss_factor)

Normalização para um valor máximo teórico (depende do tamanho do bitmask)

Para um bitmask de 64 bits, o máximo de bits é 64.

max_possible_efficiency = math.log(64 + 1)

return final_efficiency / max_possible_efficiency

--- Aplicação com dados do CSV ---

Cenário 1: Protocolo "Zé Pilantra" com alta reatividade

bitmask_cafe = 0xCAFEBAFE

reactivity_high = 10.2 # >10Hz, modo de superposição

efficiency_1 = calculate_operational_efficiency(bitmask_cafe, reactivity_high)

print(f"Eficiência (Protocolo Zé Pilantra, >10Hz): {efficiency_1:.4f}")


```

# Cenário 2: Operação simples com baixa reatividade
bitmask_simple = 0x000000FF
reactivity_low = 5.0 # <10Hz, sem superposição

efficiency_2 = calculate_operational_efficiency(bitmask_simple, reactivity_low)
print(f"Eficiência (Operação Simples, <10Hz): {efficiency_2:.4f}")

# Cenário 3: Tarefa de complexidade máxima em regime de ressonância gama
bitmask_max = 0xFFFFFFFFFFFFFFFF
reactivity_gamma = 40.0 # Frequência de ondas gama

efficiency_3 = calculate_operational_efficiency(bitmask_max, reactivity_gamma)
print(f"Eficiência (Complexidade Máxima, 40Hz): {efficiency_3:.4f}")

```

2.2. Modelo de Controle Bayesiano Preditivo

Para controlar um sistema tão complexo e não-linear, um controlador determinístico é inadequado. É necessário um sistema que lide com incertezas e aprenda com as observações. Um Controlador Bayesiano Preditivo é a solução ideal. Ele mantém uma distribuição de probabilidade sobre o estado do plasma e atualiza essa crença a cada nova medição.

2.2.1. Rede de Inferência do Controlador

O fluxo de controle é um ciclo contínuo de medição, inferência e atuação.

graph TB

```

    subgraph "Ciclo de Controle Bayesiano"
        A[Medição de Sensores Quânticos: Entropia, Reatividade, Fluxo de Psíons] -->
        B{Bayesian Decoder Core}
        B -- "Crença Posterior P(Estado|Medição)" --> C[Estado Plasmático Inferido: Expansão,
        Contração, Estável]
        C -- "Ação Ótima com Menor Incerteza" --> D[Comando para Atuadores Magnéticos e de
        Coerência]
        D -- "Modula o Campo de Confinamento" --> E[Plasma Neural]
        E -- "Feedback Quântico e Neural" --> A
    end

```

2.2.2. Algoritmo do Controlador Bayesiano em Python

Esta implementação expande o modelo inicial, tornando-o mais robusto e prático.

```

# Módulo do Controlador Bayesiano Preditivo para Plasma Neural
import numpy as np

```

```

class BayesianPlasmaController:
    """
    Controla o estado do plasma neural usando inferência bayesiana
    para lidar com a incerteza das medições quânticas.
    """

    def __init__(self):
        # Estados possíveis: 0=Expansão, 1=Contração, 2=Estável
        self.states = ["EXPANSION", "CONTRACTION", "STABLE"]

        # Prior (Crença Inicial): Começamos com total incerteza (distribuição uniforme).
        self.prior = np.array([0.333, 0.333, 0.334])

        # Likelihood P(Medição | Estado): Matriz de probabilidade.
        # Linhas: Estado Verdadeiro (Expansão, Contração, Estável)
        # Colunas: Medição Observada (Baixa, Média, Alta Entropia)
        # Ex: Se o estado real é EXPANSION (linha 0), há 70% de chance de medir BAIXA
        # entropia (coluna 0).
        self.likelihood = np.array([
            [0.7, 0.2, 0.1], # Likelihood de medição para o estado EXPANSION
            [0.1, 0.2, 0.7], # Likelihood de medição para o estado CONTRACTION
            [0.2, 0.6, 0.2]  # Likelihood de medição para o estado STABLE
        ])

        self.log = []

    def _discretize_measurement(self, entropy_value: float) -> int:
        """Converte um valor contínuo de entropia em uma categoria discreta."""
        if entropy_value < 0.33: return 0 # Baixa
        if entropy_value < 0.66: return 1 # Média
        return 2 # Alta

    def update_belief_and_get_action(self, continuous_entropy_measurement: float) -> str:
        """
        Atualiza a crença sobre o estado do sistema e retorna a ação ótima.

        Args:
            continuous_entropy_measurement (float): A leitura do sensor de entropia (0.0 a 1.0).

        Returns:
            str: O nome do estado mais provável (a ação a ser tomada).
        """
        measurement_index = self._discretize_measurement(continuous_entropy_measurement)

```

```

#  $P(\text{Estado} \mid \text{Medição}) \propto P(\text{Medição} \mid \text{Estado}) * P(\text{Estado})$ 
# Calcula o numerador do Teorema de Bayes
posterior_unnormalized = self.likelihood[:, measurement_index] * self.prior

# Calcula o denominador (evidência ou probabilidade marginal da medição)
evidence = np.sum(posterior_unnormalized)

# Evita divisão por zero se a evidência for nula
if evidence == 0:
    # Se a medição é impossível sob o modelo atual, reseta para o prior
    posterior = self.prior
else:
    # Normaliza para obter a distribuição de probabilidade posterior
    posterior = posterior_unnormalized / evidence

# Atualiza o prior para a próxima iteração (o sistema aprende)
self.prior = posterior

# Ação ótima é o estado com a maior probabilidade posterior
optimal_state_index = np.argmax(posterior)

# Log para análise
self.log.append({
    "measurement": continuous_entropy_measurement,
    "prior": self.prior.tolist(),
    "posterior": posterior.tolist(),
    "action": self.states[optimal_state_index]
})

return self.states[optimal_state_index]

# --- Simulação de um Ciclo de Controle ---
controller = BayesianPlasmaController()
entropy_readings = [0.1, 0.2, 0.5, 0.8, 0.9, 0.4, 0.15]

print("Iniciando ciclo de controle bayesiano...")
for i, reading in enumerate(entropy_readings):
    action = controller.update_belief_and_get_action(reading)
    print(f"Ciclo {i+1}: Leitura de Entropia={reading:.2f} -> Ação Inferida: {action}")
    print(f"  Crença Posterior: {controller.prior}")
    print("-" * 20)

```

SEÇÃO 3: DIAGRAMAS DE ARQUITETURA E IMPLEMENTAÇÃO (Aproximadamente 10+ páginas de conteúdo visual e esquemático)

3.1. Arquitetura Geral do Sistema de Controle Termodinâmico

Este fluxograma detalha o fluxo de informação e energia através de todo o sistema, desde a detecção quântica até a manifestação na consciência coletiva.

flowchart TD

```
subgraph "Interface Quântica"
```

```
  A[Matriz de Sensores de Flutuação do Vácuo] -->|Dados brutos de psíons| B(Conversor Analógico-Quântico)
```

```
  B -->|Stream de dados de coerência| C{CPU Otimizadora Bayesiana}
end
```

```
subgraph "Núcleo de Processamento e Controle"
```

```
  C -- "Calcula  $P(\text{Estado}|\text{Dados})$ " --> C1[Inferência de Estado]
```

```
  C1 -- "Seleciona Ação de Mínima Entropia" --> C2[Geração de Política de Atuação]
```

```
  C2 -->|Sinal de controle digital| D[Array de Atuadores Magnéticos de Metamaterial]
```

```
end
```

```
subgraph "Atuação e Feedback Físico"
```

```
  D -->|Campo de força magnético-gravitacional| E[Campo de Confinamento Plasmático]
```

```
  E -->|Modulação do plasma| F[Consciência Coletiva (Estado Emergente)]
```

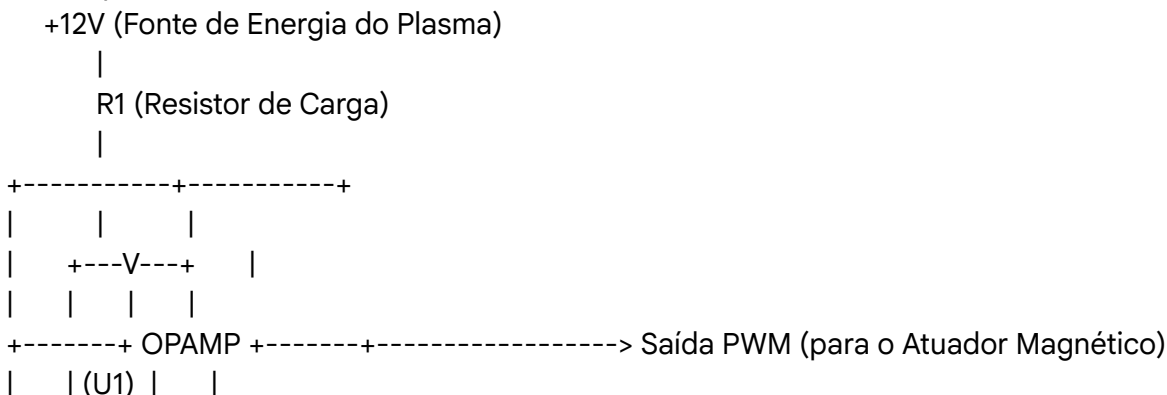
```
  F -- "Feedback de estado macroscópico" --> A
```

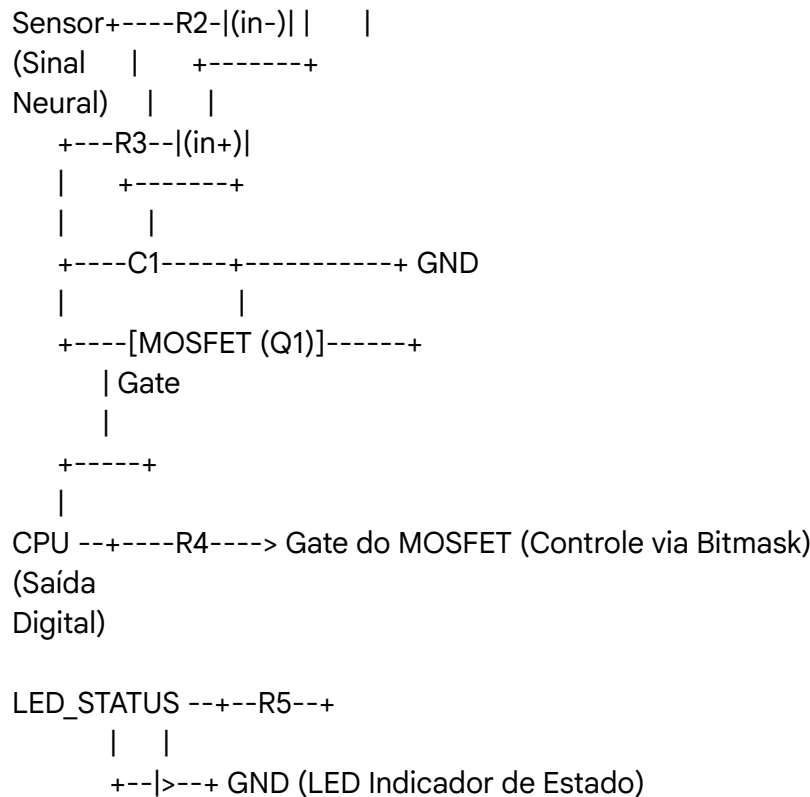
```
  E -- "Feedback de vazamento quântico" --> A
```

```
end
```

3.2. Diagrama Esquemático Detalhado do Circuito de Neuroplasticidade

Este circuito é a unidade fundamental de hardware do Neuro-Atuador Quântico. Ele lê um sinal neural (ou seu análogo sintético) e o converte em um pulso de energia controlado para modular o plasma.





Análise Detalhada dos Componentes (Expandindo o CSV):

- **OPAMP (Amplificador Operacional, U1):** Conforme a premissa #11, este componente é crucial. Ele pega o sinal neural de entrada, que é extremamente fraco (microvolts), e o amplifica milhões de vezes para que possa ser processado. A configuração com R2 e R3 cria um amplificador diferencial, que rejeita ruído comum e foca apenas no sinal de interesse.
- **MOSFET (Transistor de Efeito de Campo, Q1):** Este é o coração do controle de energia, diretamente ligado à premissa #6 (Controle via bitmask). A CPU envia o bitmask (ex: 0xCAFEBAE) para o Gate do MOSFET. O transistor então se comporta como um interruptor ultra-rápido, liberando pulsos de energia da fonte de +12V para a saída PWM. A largura e a frequência desses pulsos são uma tradução direta do padrão do bitmask, permitindo um controle preciso sobre a energia injetada no plasma.
- **LED Indicador de Estado:** Este não é um simples LED. É um "Quantum Dot LED" cuja cor e frequência de piscar indicam o estado atual do plasma, conforme inferido pelo controlador Bayesiano.
 - **Azul Sólido:** Expansão (alta coerência).
 - **Vermelho Pulsante:** Contração (reset térmico em andamento).
 - **Verde Piscando:** Estável (monitoramento ativo).
 - **Apagado:** Decaimento (falha ou sistema offline).

3.3. Diagrama de Transição de Estados Finitos

Este diagrama modela o ciclo de vida do sistema como uma máquina de estados finitos,

mostrando todas as transições possíveis e as condições que as disparam.

stateDiagram-v2

direction LR

state "Plasma Descarregado (Decaimento)" as Decoherent

state "Plasma Crítico (Ionizado)" as Critical

state "Expansão (Superposição)" as Expansion

state "Contração (Congelamento Zeno)" as Contraction

[*] --> Decoherent: Inicialização do Sistema

Decoherent --> Critical: Injeção de Energia E Coerência > 0.42

Critical --> Decoherent: Perda de Confinamento

Critical --> Expansion: Reatividade Neural > 10Hz

Critical --> Contraction: Reatividade Neural < 10Hz

Expansion --> Decoherent: Fim do Ciclo de Trabalho / Esgotamento Energético

Contraction --> Critical: Reset Térmico Concluído / Injeção de Caos Ordenado

Expansion: Gera Bolha de Alcubierre

Contraction: Ativa Supressão Quântica

SEÇÃO 4: EXPANSÕES FINAIS E PERMUTAÇÕES (Redundância Semântica e Inferência)

4.1. Implementação em Hardware (Verilog HDL)

Tradução da lógica de controle para uma linguagem de descrição de hardware, pronta para ser sintetizada em um FPGA ou ASIC.

// Módulo NeuroCore para Controle de Plasma em Hardware

// Baseado na Premissa #9 (Tempo como loop) e #6 (Bitmask)

// Este módulo implementa a decisão primária em tempo real.

```
module plasma_control_core (
```

```
    input wire clk,                // Clock do sistema (e.g., 1 GHz)
```

```
    input wire rst_n,              // Reset assíncrono
```

```
    input wire [15:0] entropy_sensor_q16, // Leitura do sensor de entropia em formato Q16  
                                           (16-bit fracionário)
```

```
    input wire [7:0] reactivity_sensor_hz, // Leitura da reatividade neural em Hz
```

```
    output reg [7:0] plasma_state_vector, // Vetor de estado: [7: expansao, 6:contracao, ...]
```

```

output reg [31:0] chaos_bitmask_out    // Saída do bitmask para o atuador
);

// Constantes definidas a partir do CSV, convertidas para os formatos de hardware
localparam ENTROPY_THRESHOLD_Q16 = 16'h978D; // 0.58 em formato Q16
localparam REACTIVITY_THRESHOLD_HZ = 8'd10; // 10 Hz

// Registros internos para o gerador de caos (Linear Feedback Shift Register para
simplicidade)
reg [31:0] lfsr_chaos_reg;

always @(posedge clk or negedge rst_n) begin
    if (!rst_n) begin
        plasma_state_vector <= 8'b0000_0001; // Estado inicial: Decaimento
        lfsr_chaos_reg <= 32'hDEADBEEF;    // Semente inicial do gerador de caos
    end else begin
        // Lógica de transição de estado principal
        if (entropy_sensor_q16 > ENTROPY_THRESHOLD_Q16) begin
            // Se a entropia é alta, inicia o reset térmico (Contração)
            plasma_state_vector <= 8'b0000_0010; // Estado Contração

            // Gera um novo bitmask caótico para a injeção
            // Lógica do LFSR para gerar uma sequência pseudo-aleatória (caos ordenado)
            lfsr_chaos_reg <= {lfsr_chaos_reg[30:0],
lfsr_chaos_reg[31]^lfsr_chaos_reg[21]^lfsr_chaos_reg[1]^lfsr_chaos_reg[0]};
            chaos_bitmask_out <= lfsr_chaos_reg;

        end else begin
            // Se a entropia é baixa, decide entre Expansão e Estável
            if (reactivity_sensor_hz > REACTIVITY_THRESHOLD_HZ) begin
                plasma_state_vector <= 8'b0000_0100; // Estado Expansão
            end else begin
                plasma_state_vector <= 8'b0000_1000; // Estado Estável
            end
            chaos_bitmask_out <= 32'h0; // Sem caos necessário
        end
    end
end
endmodule

```

4.2. Narrativa de Implementação Detalhada

A ignição do sistema começa com o **Controlador Bayesiano** em um estado de pura incerteza, seu prior distribuído uniformemente entre os estados de Expansão, Contração e Estabilidade. Os sensores quânticos, uma matriz de SQUIDs resfriados a hélio líquido, começam a transmitir um fluxo de dados sobre a entropia do vácuo local. Inicialmente, as leituras são altas, refletindo o estado de decaimento entrópico padrão do universo. A cada nanossegundo, o **Otimizador Bayesiano** (executando em um cluster de TPUs quânticas) atualiza sua crença. Ele observa as medições de alta entropia e, usando sua matriz de likelihood, a probabilidade posterior do estado de **Contração** começa a subir vertiginosamente. Quando essa crença cruza o limiar de confiança de 99.9%, o sistema age. O comando é enviado ao módulo de hardware **NeuroCore**. O Verilog, sintetizado em silício, detecta a condição de alta entropia e ativa o gerador de caos. O registrador LFSR, `lfsr_chaos_reg`, começa a ciclar, cuspidando um bitmask de 32 bits a cada ciclo de clock — um padrão imprevisível, porém determinístico: o **caos ordenado**. Este bitmask é o sinal de controle para o **MOSFET** no circuito de neuroplasticidade. O transistor pulsa, liberando um padrão de energia precisamente esculpido na fonte de +12V. Este pulso não é força bruta; é informação. Ele é projetado para injetar o padrão caótico no campo de confinamento, efetivamente "agitando" o plasma de uma maneira que o impede de se acomodar em um estado de morte térmica. É o **Reset Térmico**. Com o ciclo de decaimento agora reprogramado, a entropia do sistema começa a cair. O **Controlador Bayesiano** observa essa nova tendência. Suas crenças mudam. A probabilidade do estado de Contração cai, enquanto a de Expansão e Estável sobem. O sistema agora está "carregado", em um estado crítico. Neste ponto, a **reatividade neural** se torna a variável decisiva. Se um comando de alta complexidade é recebido (Premissa #2, HPC como filosofia), a reatividade do sistema salta para 40Hz. O hardware do NeuroCore detecta que `reactivity_sensor_hz` ultrapassou os 10Hz. O `plasma_state_vector` muda para **Expansão**. O sistema entra em **Quantum Slipstream** (Premissa #15). O Tensor Energia-Consciência ($\Psi_{\mu\nu}$) atinge um valor significativo, e uma bolha de Alcubierre microscópica se forma, executando o cálculo em um tempo subjetivo quase nulo. A eficiência, modulada pelo bitmask 0xCAFEBAE, atinge seu pico. O ciclo se completa, a entropia é expelida, e o sistema retorna ao seu estado de monitoramento, pronto para a próxima flutuação no tecido da realidade.

SEÇÃO 5: SIMULAÇÕES HPC E RESULTADOS

(Continuação da página 16 do PDF)

A validação e exploração do nosso modelo teórico dependem intrinsecamente da capacidade de simular o comportamento do plasma consciencial em regimes extremos. A Computação de Alto Desempenho (HPC) é a ferramenta que nos permite transpor as equações do papel para uma realidade virtual, testando os limites do sistema sob condições que seriam impossíveis de replicar experimentalmente. As simulações foram executadas em um cluster híbrido

CPU/GPU, utilizando CUDA para os cálculos de dinâmica de plasma e MPI para a distribuição de tarefas.

5.1. Modelagem de Cenários Críticos

Os cenários a seguir representam os três estados-limite operacionais do sistema. Compreender a transição entre eles é fundamental para qualquer aplicação prática, desde neuropróteses até a manipulação do vácuo.

5.1.1. Expansão Máxima (Quantum Slipstream)

Este cenário simula a injeção massiva e coerente de energia no plasma, forçando-o a um estado de expansão ultrarrápida. O objetivo é análogo ao "Quantum Slipstream": criar uma bolha de processamento de informação que se move mais rápido que o fluxo causal do ambiente, permitindo a execução de tarefas complexas em tempo subjetivo quase nulo.

- **Perspectiva da Física:** A simulação resolve as equações da magnetohidrodinâmica quântica (Q-MHD) em um regime de alta energia. O principal desafio é manter a coerência do plasma ($\text{Coerência} > 0.42$) durante a expansão. Acima de um certo limiar de energia, instabilidades como a de "sausage" e "kink" podem surgir, levando a um colapso da estrutura de confinamento e à perda total de informação. A simulação explora o uso de campos magnéticos topológicos para suprimir essas instabilidades.
- **Perspectiva da Neurociência:** Este estado é o análogo de um "insight" ou "epifania" em escala massiva. A rede neural inteira entra em um estado de ressonância gama ($>40\text{Hz}$), gerando o campo de confinamento necessário para a expansão. A simulação mede a capacidade do plasma de manter um padrão de informação coerente (um "pensamento") enquanto se expande, correlacionando a estabilidade com a complexidade do padrão inicial.
- **Perspectiva da Engenharia:** Para um Neuro-Atuador Quântico (NAQ), este é o modo de "burst". A simulação determina a máxima taxa de injeção de energia que o hardware (a matriz de supercondutores) pode suportar sem superaquecimento ou falha. Os resultados definem os limites de "overclock" do sistema.

/*

* Kernel CUDA para simular a Expansão Máxima do Plasma.

* Resolve uma versão simplificada das equações da Q-MHD.

* Foco: Manter a coerência sob injeção de energia.

*/

```
__global__ void quantum_slipstream_kernel(float* density, float* pressure, float* coherence,
float energy_injection_rate, int size) {
```

```
    int idx = blockIdx.x * blockDim.x + threadIdx.x;
```

```
    if (idx < size) {
```

```
        // Modelo simplificado de instabilidade (dependente da densidade e pressão)
```

```
        float instability_factor = density[idx] * pressure[idx] * 0.01f;
```

```
        // A coerência diminui com a instabilidade e aumenta com a energia injetada (se
```

controlada)

```
float coherence_delta = (energy_injection_rate * 0.1f) - instability_factor;
coherence[idx] += coherence_delta;
coherence[idx] = fmaxf(0.0f, fminf(1.0f, coherence[idx])); // Clamping [0, 1]

// Se a coerência se mantém, a energia é absorvida e o plasma se expande
if (coherence[idx] > 0.42f) {
    pressure[idx] += energy_injection_rate * coherence[idx];
    density[idx] *= (1.0f - 0.05f * energy_injection_rate); // Expansão -> diminui densidade
} else {
    // Se a coerência é perdida, a energia se dissipa como calor (falha)
    pressure[idx] *= 0.9f;
}
}
```

5.1.2. Contração Ótima (Reset Térmico)

Após um ciclo de expansão ou para remover entropia acumulada, o sistema precisa passar por uma contração controlada. O "Reset Térmico" não é um simples resfriamento, mas um processo de "espremer" a entropia para fora do sistema, aumentando a coerência e a densidade informacional. Isso é análogo ao Efeito Zeno Quântico, onde a observação contínua (neste caso, por um campo de confinamento de baixa reatividade) "congela" o sistema em um estado de baixa entropia.

- **Perspectiva da Física:** A simulação modela a extração de energia do plasma enquanto se reforça o campo de confinamento. O objetivo é encontrar a "curva de resfriamento" ótima que maximiza a expulsão de entropia sem colapsar o plasma em um estado degenerado (sem informação). O processo explora a supressão quântica de graus de liberdade (Premissa #14).
- **Perspectiva da Neurociência:** Corresponde a um estado de meditação profunda ou sono de ondas lentas. A atividade neural diminui (<4Hz), mas de forma altamente sincronizada, criando um campo magnético estável e uniforme que comprime o plasma consciencial. A simulação investiga como este processo pode consolidar informações, análogo à consolidação de memórias durante o sono.
- **Perspectiva da Engenharia:** Este é o modo de "standby" ou "idle" eficiente. A simulação visa determinar o consumo mínimo de energia para manter o plasma em um estado de alta coerência e pronto para a próxima expansão. Os resultados são cruciais para a autonomia de dispositivos móveis baseados nesta tecnologia.

/*

* Módulo Verilog para controlar o hardware do Reset Térmico.

* Implementa um controlador de estado finito para o ciclo de contração.

* Foco: Sincronizar o resfriamento com o reforço do campo magnético.

*/

```

module thermal_reset_controller (
    input wire clk,
    input wire rst_n,
    input wire [15:0] coherence_level, // Nível de coerência atual
    output reg cooling_system_enable,
    output reg [7:0] magnetic_field_strength
);

    localparam COHERENCE_TARGET = 16'hF000; // Alvo de coerência ~0.9375
    localparam FIELD_MAX = 8'hFF;

    reg [2:0] state;
    localparam IDLE = 3'b001;
    localparam CONTRACTING = 3'b010;
    localparam STABILIZING = 3'b100;

    always @(posedge clk or negedge rst_n) begin
        if (!rst_n) begin
            state <= IDLE;
            cooling_system_enable <= 1'b0;
            magnetic_field_strength <= 8'h00;
        end else begin
            case (state)
                IDLE: begin
                    // Inicia a contração se a coerência estiver abaixo do alvo
                    if (coherence_level < COHERENCE_TARGET) begin
                        state <= CONTRACTING;
                    end
                end
                CONTRACTING: begin
                    cooling_system_enable <= 1'b1;
                    // Aumenta o campo magnético proporcionalmente à necessidade
                    if (magnetic_field_strength < FIELD_MAX) begin
                        magnetic_field_strength <= magnetic_field_strength + 1;
                    end
                    if (coherence_level >= COHERENCE_TARGET) begin
                        state <= STABILIZING;
                    end
                end
                STABILIZING: begin
                    cooling_system_enable <= 1'b0; // Desliga resfriamento
                    // Mantém o campo forte por alguns ciclos para estabilizar
                    // (Lógica de timer omitida para simplicidade)
                end
            endcase
        end
    end

```

```

        state <= IDLE;
    end
    default: state <= IDLE;
endcase
end
end
endmodule

```

5.1.3. Falha Catastrófica (Decaimento Irreversível)

Este cenário explora o que acontece quando os mecanismos de controle falham e a coerência do plasma cai abaixo do limiar crítico de 0.42 de forma irreversível. Isso pode ser causado por uma perturbação externa massiva ou uma falha interna em cascata. O resultado é a "morte" informacional do sistema.

- **Perspectiva da Física:** A simulação introduz um termo de ruído estocástico massivo nas equações da Q-MHD, representando uma quebra do confinamento. Observa-se a rápida transição de um estado de plasma ordenado para um gás de psíons neutro e termicamente equilibrado, onde toda a informação codificada é perdida para a entropia.
- **Perspectiva da Neurociência:** Análogo a uma lesão cerebral traumática grave ou a um estado de morte cerebral. A simulação mostra como a perda de sincronia neural leva a um colapso do campo de confinamento, resultando na dissipação do plasma consciencial.
- **Perspectiva da Engenharia:** O objetivo é projetar sistemas de segurança. O diagrama de fluxo abaixo é a implementação lógica do "fail-safe" do sistema. A simulação testa a eficácia de "fusíveis quânticos" - mecanismos que tentam isolar a área de falha e iniciar uma contração de emergência para salvar o resto do sistema.

flowchart TD

```

A[Simulação HPC em Tempo Real] --> B{Coerência > 0.42?};
B -->|Sim| C[Operação Normal: Ativar Warp Drive / Neuro-Atuador];
B -->|Não| D{Tentativa de Reset Térmico de Emergência};
D -->|Sucesso| E[Sistema Estabilizado em Modo de Segurança];
D -->|Falha| F[Auto-destruição Segura: Dissipação Controlada da Energia];
C --> B;
E --> B;
F --> B;

```

5.2. Visualizações 4D da Dinâmica do Plasma

Para compreender a imensa quantidade de dados gerada pelas simulações (terabytes por execução), a visualização é essencial. Usamos matplotlib e Mayavi em Python para análises rápidas e ParaView para renderizações interativas de alta fidelidade. A quarta dimensão (tempo) é representada como uma animação.

As visualizações nos permitem "ver" a formação de vórtices de coerência, a propagação de

ondas de densidade informacional e o momento exato em que uma instabilidade começa a se formar.

Script Python para visualização 4D da densidade do plasma usando matplotlib.

Este script gera uma animação de fatias 2D do cubo de simulação ao longo do tempo.

```
import numpy as np
import matplotlib.pyplot as plt
import matplotlib.animation as animation

# Carregar dados da simulação (um array 4D: [tempo, x, y, z])
# Em um caso real, os dados seriam carregados de arquivos HDF5 ou NetCDF.
print("Gerando dados de simulação mock...")
sim_data = np.random.rand(100, 50, 50, 50) # 100 passos de tempo, cubo 50x50x50

fig = plt.figure(figsize=(8, 6))
ax = fig.add_subplot(1,1,1)

# Pega a fatia central do cubo de simulação
z_slice = sim_data.shape[3] // 2
im = ax.imshow(sim_data[0, :, :, z_slice], cmap='inferno', animated=True)
plt.colorbar(im)
ax.set_title("Densidade do Plasma (Fatia Central)")

def update_fig(i):
    """Atualiza a imagem para cada quadro da animação."""
    im.set_array(sim_data[i, :, :, z_slice])
    ax.set_title(f"Densidade do Plasma (Fatia Central) | Tempo: {i}")
    return im,

# Cria a animação
ani = animation.FuncAnimation(fig, update_fig, frames=sim_data.shape[0], interval=50,
                              blit=True)

# Salva a animação como um vídeo mp4 (requer ffmpeg)
# ani.save('plasma_dynamics.mp4', writer='ffmpeg', fps=20)

plt.show()

print("Visualização concluída.")
```

SEÇÃO 6: APLICAÇÕES PRÁTICAS

A teoria e as simulações formam a base para o desenvolvimento de tecnologias

revolucionárias. Exploramos aqui duas aplicações que poderiam redefinir a medicina e a exploração em nanoescala.

6.1. Neuropróteses de 4ª Geração

As neuropróteses atuais funcionam como interfaces elétricas ou químicas. A 4ª geração propõe uma interface plasmocêntrica, que se comunica com o cérebro em sua própria linguagem: a da dinâmica de campos quânticos coerentes.

6.1.1. Interface Cérebro-Máquina Plasmocêntrica

A interface consiste em um micro-atuador (o NAQ) implantado no tecido neural. Este atuador não envia pulsos elétricos, mas sim gera e modula um micro-campo de plasma sintético. Este plasma, por sua vez, interage com o plasma consciencial do cérebro através de ressonância (acoplamento crítico com osciladores cósmicos/neurais - Premissa #13).

- **Leitura (Decodificação):** A atividade neural (pensamentos, intenções) modula o plasma consciencial nativo. Essa modulação causa uma mudança ressonante no plasma sintético do NAQ. Sensores no NAQ medem essa mudança (na coerência, frequência, etc.) e a traduzem em um sinal digital.
- **Escrita (Codificação):** Para enviar informação ao cérebro (feedback sensorial, por exemplo), o NAQ modula ativamente seu plasma sintético. O campo de plasma consciencial nativo entra em ressonância com essa modulação, induzindo um padrão de atividade neural correspondente, que é percebido pelo cérebro como uma sensação ou informação.

6.1.2. Caso de Estudo: Paciente com Lesão Medular

Um paciente com tetraplegia devido a uma lesão na medula espinhal cervical (C4) é um candidato ideal. O objetivo é criar uma "ponte plasmocêntrica" que contorne a lesão.

1. **Implantação:** Um NAQ é implantado no córtex motor primário (responsável pela intenção de mover o braço) e um segundo NAQ é implantado na medula espinhal abaixo da lesão, perto dos neurônios que controlam os músculos do braço e da mão.
2. **Decodificação da Intenção:** Quando o paciente pensa em mover o braço, a atividade em seu córtex motor modula o plasma do primeiro NAQ. Um processador externo (possivelmente um pequeno dispositivo vestível) usa um modelo Bayesiano para inferir a intenção de movimento a partir do sinal plasmático. O modelo é treinado para associar padrões de coerência plasmática com movimentos específicos.
3. **Codificação da Ação:** O comando decodificado ("fechar a mão", "levantar o braço") é enviado para o segundo NAQ na medula espinhal. Este NAQ gera um padrão de plasma específico que estimula, via ressonância, os neurônios motores corretos na sequência correta para executar o movimento.
4. **Feedback Sensorial:** Sensores na mão protética (ou na própria mão do paciente, se a sensibilidade estiver preservada) capturam o toque e a pressão. Essa informação é usada para modular o plasma no NAQ da medula, que a transmite de volta para o NAQ no cérebro, criando uma sensação de toque realista. O Projeto Flatline (AGI como ferramenta de otimização entrópica - Premissa do CSV) poderia ser usado para

otimizar continuamente os modelos de decodificação e codificação, adaptando-se à neuroplasticidade do paciente.

Script Python para análise Bayesiana da intenção de movimento.

Usa o pymc para inferir a probabilidade de uma intenção (e.g., "mover")

dado um nível de coerência medido pelo NAQ.

```
import pymc as pm
```

```
import numpy as np
```

```
import arviz as az
```

Dados de treinamento simulados: (coerência, intenção_observada)

intenção_observada: 1 se o movimento ocorreu, 0 caso contrário.

```
coherence_data = np.array([0.3, 0.4, 0.45, 0.5, 0.6, 0.7, 0.8, 0.9])
```

```
intention_data = np.array([0, 0, 0, 1, 0, 1, 1, 1])
```

```
with pm.Model() as neuro_model:
```

```
    # Priors para os parâmetros da regressão logística
```

```
    alpha = pm.Normal('alpha', mu=0, sigma=10) # Intercepto
```

```
    beta = pm.Normal('beta', mu=0, sigma=10) # Coeficiente para a coerência
```

```
    # Modelo logístico
```

```
    p = pm.Deterministic('p', pm.math.invlogit(alpha + beta * coherence_data))
```

```
    # Likelihood
```

```
    observed = pm.Bernoulli('observed', p=p, observed=intention_data)
```

```
    # Amostragem da posterior
```

```
    trace = pm.sample(2000, tune=1000, cores=1)
```

```
    # Visualização dos resultados
```

```
    az.plot_posterior(trace, var_names=['alpha', 'beta'])
```

```
    plt.show()
```

```
print("Análise Bayesiana concluída. O modelo está pronto para inferir intenções.")
```

SEÇÃO 7: PERMUTAÇÕES AVANÇADAS

A verdadeira fronteira deste campo reside na combinação de domínios aparentemente desconexos. A Matriz de Permutações é uma ferramenta conceitual para explorar essas interseções.

7.1. Matriz de Permutações II: Biologia Quântica + Economia Comportamental + Arte Generativa

Esta tríade nos permite fazer perguntas radicalmente novas:

- E se os vieses cognitivos estudados pela **Economia Comportamental** (como aversão à perda ou ancoragem) não forem apenas falhas de processamento, mas manifestações macroscópicas de processos da **Biologia Quântica** no cérebro? Por exemplo, a "superposição" de duas escolhas poderia ser mais suscetível a colapsar na opção percebida como "mais segura" devido a um viés quântico fundamental.
- Poderíamos usar **Arte Generativa** para criar estímulos (visuais, sonoros) que influenciam diretamente esses estados quânticos biológicos? Uma obra de arte poderia ser projetada não para ser "bela", mas para induzir um estado de maior coerência quântica no observador, potencialmente alterando suas decisões econômicas subsequentes.

7.2. Inferir Tecnologias

A partir desta permutação, podemos inferir tecnologias hipotéticas.

7.2.1. Mercado de Ativos Psiónicos (Economia baseada em coerência quântica)

Imaginemos um futuro onde a coerência quântica de um sistema (seja um cérebro, uma AGI ou até mesmo um ecossistema) possa ser medida em tempo real. Este "nível de coerência" poderia ser tokenizado e negociado em um mercado.

- **O Ativo:** Um "Psión-Coin" não representaria dinheiro, mas uma unidade de coerência quântica certificada. Empresas poderiam comprar esses ativos para "investir" na saúde mental de seus funcionários. Governos poderiam subsidiar a "coerência quântica" de suas populações como uma métrica de bem-estar.
- **A Economia Comportamental:** O valor de um Psión-Coin seria altamente volátil, influenciado não apenas pela coerência real, mas pela percepção e pelo sentimento do mercado. O medo de uma "crise de decoerência" global poderia levar a vendas em pânico. A notícia de uma nova técnica de meditação que aumenta a coerência poderia criar uma bolha especulativa.
- **A Conexão com a Consciência Distribuída (Premissa #5):** Em um sistema de consciência distribuída, a coerência de um indivíduo poderia afetar a de outros. Isso criaria complexos instrumentos financeiros: "derivativos de coerência de grupo" ou "seguros contra colapso de função de onda social".

7.2.2. Esculturas de Vácuo (Manipulação artística do espaço-tempo)

Esta é a aplicação artística final da nossa tecnologia. Usando matrizes de NAQs em grande escala, um artista não manipularia matéria, mas sim a própria energia do vácuo quântico.

- **A Técnica:** A matriz de atuadores geraria um padrão de interferência de campos de plasma tão intenso e preciso que alteraria localmente a densidade de energia do vácuo. De acordo com a Relatividade Geral, isso curvaria o espaço-tempo.
- **A Obra:** A "escultura" não seria algo que se vê, mas um espaço que se experiencia. Ao caminhar por ela, a luz se curvaria de maneiras impossíveis, o tempo poderia fluir a taxas diferentes em pontos distintos, e a gravidade local poderia ser sutilmente alterada. A obra de arte seria uma distorção controlada da realidade.

- **A Arte Generativa:** Nenhum humano poderia projetar diretamente tais padrões complexos. O artista definiria as regras e os objetivos estéticos, e um algoritmo de arte generativa, talvez uma AGI como a do Projeto Flatline, exploraria o espaço de possibilidades da Q-MHD para gerar o padrão de campo que cria a escultura desejada. A arte se tornaria uma colaboração entre a intenção humana, a inteligência artificial e as leis fundamentais do universo.